

SpeicherCity – Modelle zur Systemintegration von Aquiferspeichern in Städten



Wer sind wir...



Elena Petrova (GFZ)

Jan Niklas Nordheim (CAU)



Maximilliam Dörnbrack (UFZ)



Ruben Stemmle (KIT)

Matthias Herrmann (KIT)



Unser Ziel ist die Integration von Aquiferspeichern in die
heutigen sowie zukünftigen Energiesysteme

Laura Lehmann (TUD)

Kevin Bock (TUD)



Maximilian Noethen (MLU)



Florian Hahn (IEG)



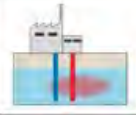
Benjamin Pfluger (IEG)

Arbeitspakete

SpeicherCITY



Bundesministerium
für Bildung
und Forschung

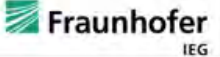


**Grubenwärmespeicher
Markgraf II Bochum**

- Pilotanlage zur saisonalen Wärmespeicherung aus Heatstore Projekt
- ehemalige Kleinzeche
- Festgestein in 23 m Tiefe



- Produktions-, Injektions- und Observationsbohrung vorhanden
- Bewirtschaftung mit solar aufgewärmten Wasser (max. 60°C)





KIT
Karlsruher Institut für Technologie



Stadt Freiburg i. Br.

- Lockergesteinsabfolgen mit hohem Potential für thermische Grundwasser Nutzung
- Daten zu Kältebedarf und thermisches Grundwassermodell vorhanden





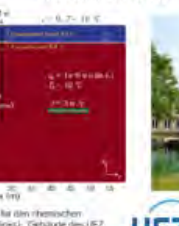

SpeicherCity

AP1: Koordination	Advisory Board	
AP2: Standort- und Systemcharakterisierung  <p>Helmholtz-Zentrum POTS DAM</p> 	AP8: Akzeptanz & Transfer  <p>MARTIN-LUTHER UNIVERSITÄT HALLE-WITTENBERG</p> 	
AP3: Wärmetransport -modellierung  <p>Kiel University Christian-Albrechts-Universität zu Kiel</p> 	AP7: Energiesystem-modellierung  	
AP4: Kopplung Speicher- und Netzmodelle  <p>Technische Universität München</p> 	AP5: Netzmodellierung  <p>TECHNISCHE UNIVERSITÄT DRESDEN</p> 	AP6: Umwelt-auswirkungen  <p>HELMHOLTZ Zentrum für Umweltforschung</p> 
		
		



Campus des Wissen-schaftsparks Leipzig

- bekannte Konzentration von Schadstoffen im Grundwasser vorhanden (ATES-L Projekt)
- zahlreiche Vorarbeiten, Daten, sowie Modellansätze vorhanden



Basisgrößen Modellgebiets für den chemischen Stofftransport in OpenGeoSys (links); Gebäude des UFZ Leipzig (rechts); www.grundwasser-la.de;



UFZ
Zentrum für Umweltforschung

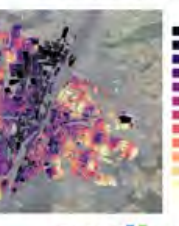






Stadt München

- umfangreiche Daten von zahlreichen thermischen Grundwassernutzungen
- geplante Einbindung von saisonalen und kurzfristigen Hochtemperatur-Tiefenspeichern in das Münchner Fernwärmennetz



Potentialkarte für die thermische Grundwassernutzung in München (Quelle: Geoportal München, Energieportal)

0 - 2,0 W/m ²
>2,0 - 5,5 W/m ²
>5,5 - 11,0 W/m ²
>11,0 - 17,5 W/m ²
>17,5 - 26,5 W/m ²
>26,5 - 36,0 W/m ²
>36,0 - 54,0 W/m ²
>54,0 - 70,5 W/m ²
>70,5 - 84,0 W/m ²
>84,0 - 120,0 W/m ²
>120,0 - 198,0 W/m ²
>198,0 - 323,5 W/m ²



SWM
IM BREISGAU

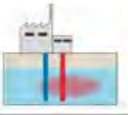


TUM
Technische Universität München

Arbeitspakete

SpeicherCITY



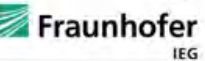


**Grubenwärmespeicher
Markgraf II Bochum**

- Pilotanlage zur saisonalen Wärmespeicherung aus Heatstore Projekt
- ehemalige Kleinzeche
- Festgestein in 23 m Tiefe



- Produktions-, Injektions- und Observationsbohrung vorhanden
- Bewirtschaftung mit solar aufgewärmten Wasser (max. 60°C)





Stadt Freiburg i. Br.

- Lockergesteinsabfolgen mit hohem Potential für thermische Grundwasser Nutzung
- Daten zu Kältebedarf und thermisches Grundwassermodell vorhanden





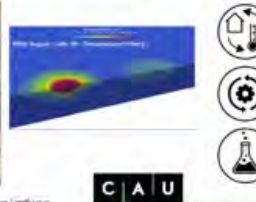
AP1: Koordination		Advisory Board
AP2: Standort- und Systemcharakterisierung	 Karlsruher Institut für Technologie	AP8: Akzeptanz & Transfer
AP3: Wärmetransport -modellierung	 Helmholtz-Zentrum POTS DAM	AP7: Energiesystem-modellierung
AP4: Kopplung Speicher- und Netzmodelle	 Kiel University Christian-Albrechts-Universität zu Kiel	AP5: Netzmodellierung
AP5: Netzmodellierung	 Technische Universität München	AP6: Umwelt-auswirkungen
AP6: Umwelt-auswirkungen	 TECHNISCHE UNIVERSITÄT DRESDEN	 HELMHOLTZ Zentrum für Umweltforschung
		
		
		



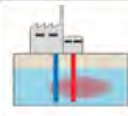
Uni Campus Kiel

- erhebliches Potential für Aquiferwärmespeicher
- zukünftige Energieversorgung von Laborgebäuden, Bürogebäuden, Wohnheimen und einem Rechenzentrum
- geplante Einbindung flexibler Temperaturniveaus und Monitoringansätze






Kiel University Christian-Albrechts-Universität zu Kiel



Berlin Spandau

- Wärme-/Kälteversorgung Stadtquartier
- Festgestein in ca. 500 m Tiefe
- bestehende Infrastruktur eines Erdgasspeichers
- zahlreiche Tiefbohrungen vorhanden

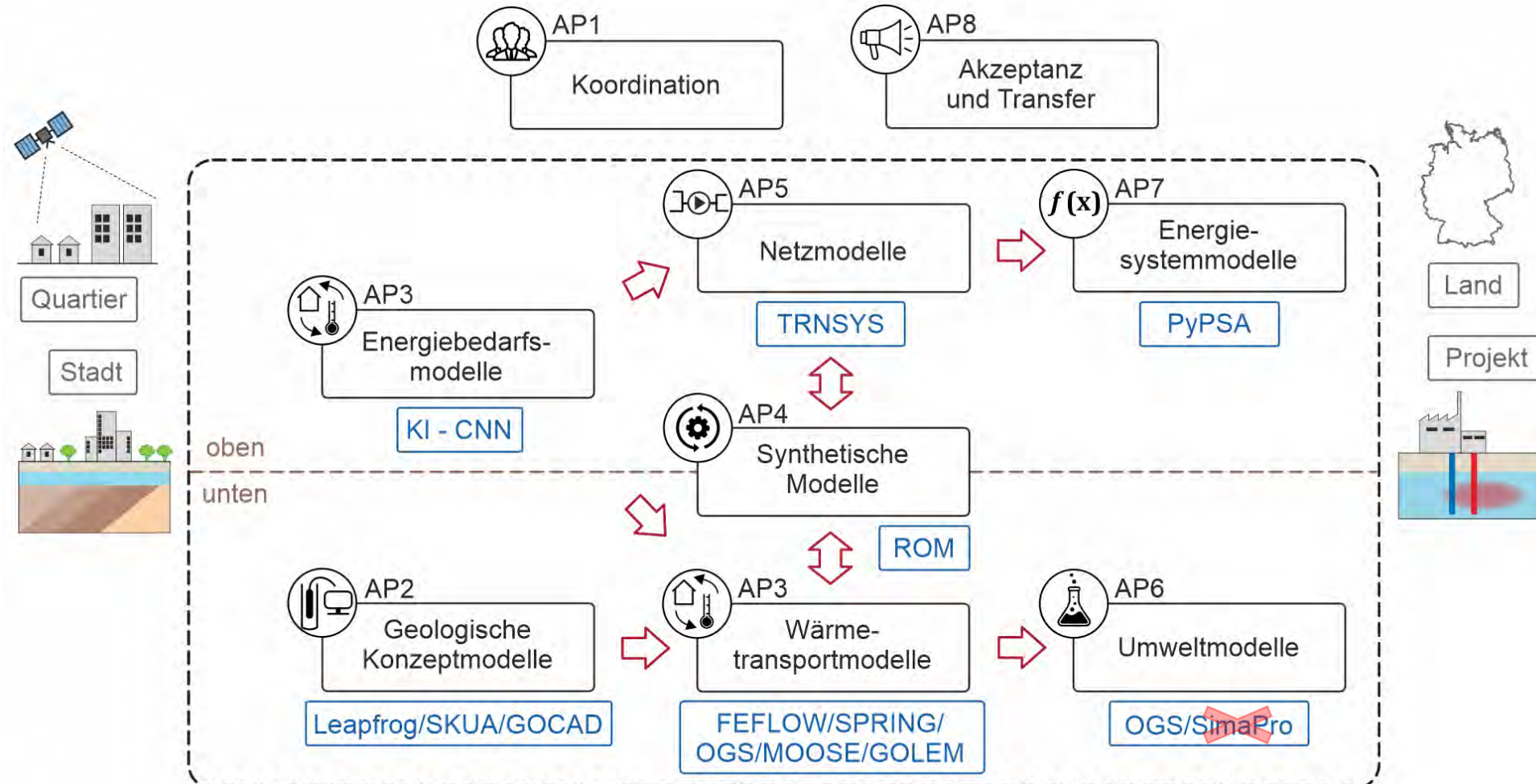







Helmholtz-Zentrum POTS DAM

Modelle und Modellkopplungen



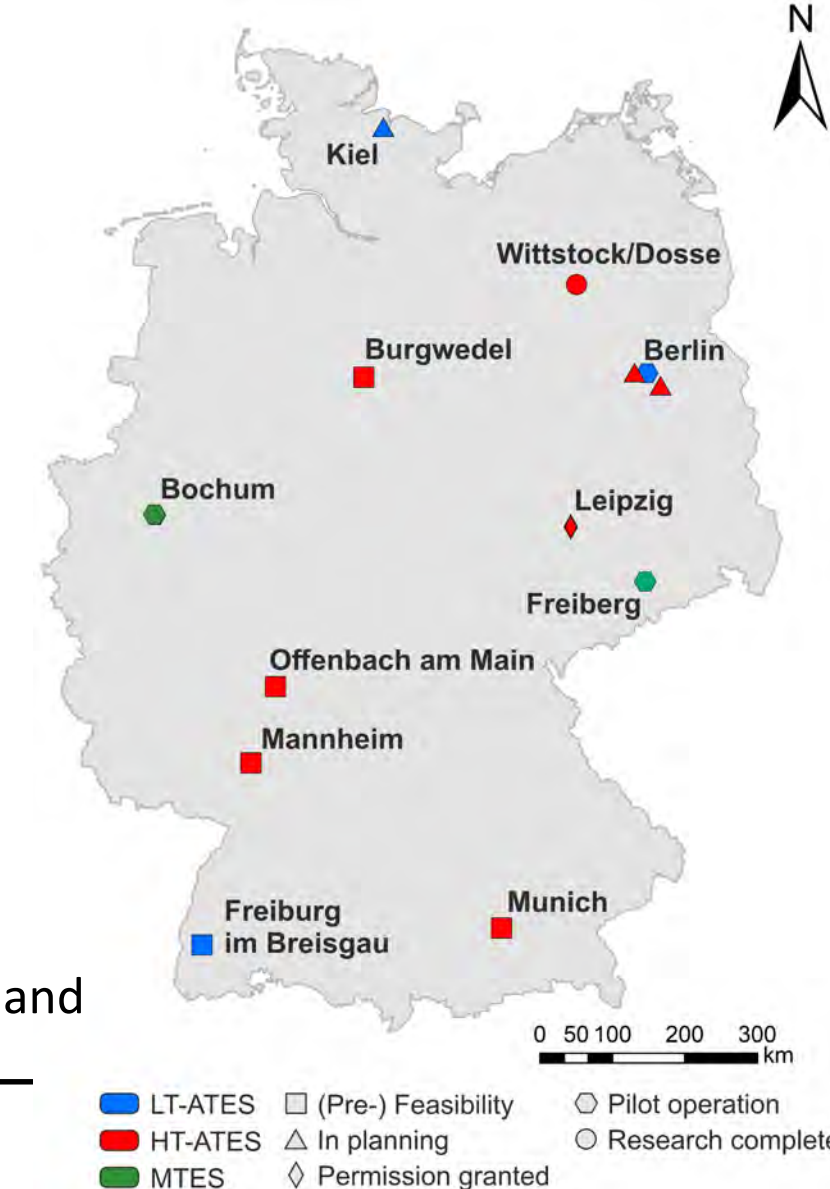
ROM = Reduced-order Modelle
TRNSYS-TUD: Netzwerkmodell

PyPSA = Python for Power System Analysis
SimaPro: LCA Software

Übersichtsartikel: Aktuelle ATES-Forschung in Deutschland

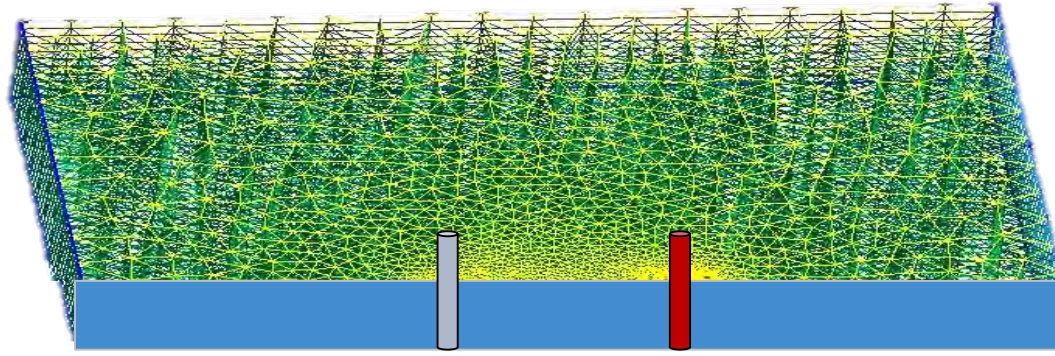
- Standorte aus SpeicherCity
 - Standorte aus anderen Projekten
 - Auch Berücksichtigung von MTES
-
- Standortbeschreibungen und übergreifende Diskussion
 - Ansprechpartner: Dr. Ruben Stemmle (KIT)

Aktuelle Forschungsstandorte in Deutschland



Optimal well distance selection for ATES with the example of the Adlershof site (Berlin)

Model



GMSH-generated mesh and a set of input parameters are included in the MOOSE-GOLEM model, which solves TH system evolution of ATES. Density-viscosity coupling according to IAPWS-97. Output is a spatio-temporal development of pressure and temperature.

Approach: Surrogate models (Ersatzmodelle)

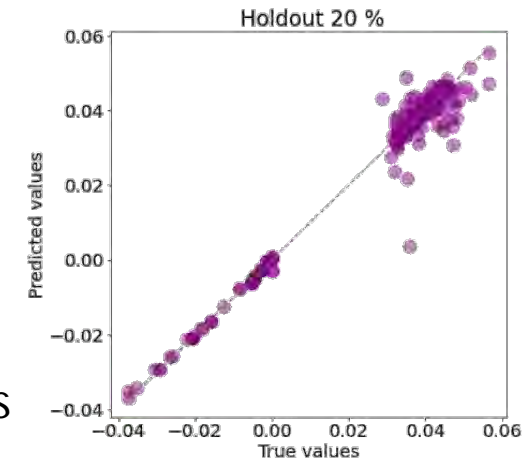
Metamodel (surrogate model) formulation with kernel k
Matern 3/2.

$$f(\mathbf{x}) \sim \mathcal{GP}(m(\mathbf{x}), k(\mathbf{x}, \mathbf{x}'))$$

Calibration with cross-validation to minimise Root Mean Squared Error (RMSE):

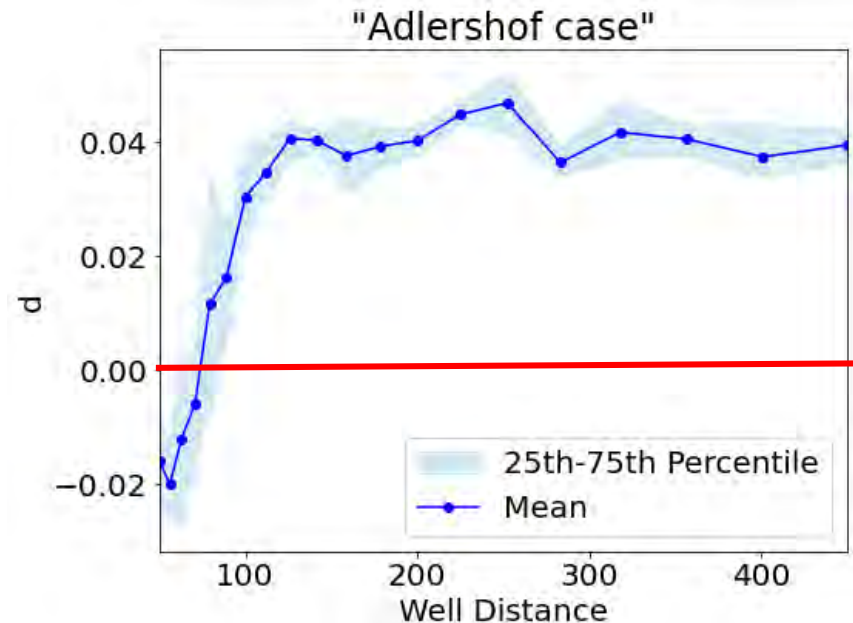
$$\text{RMSE} = \sqrt{\frac{1}{n} \sum_{i=1}^n (y_i - \hat{y}_i)^2}$$

Ensemble size: 1500 full models

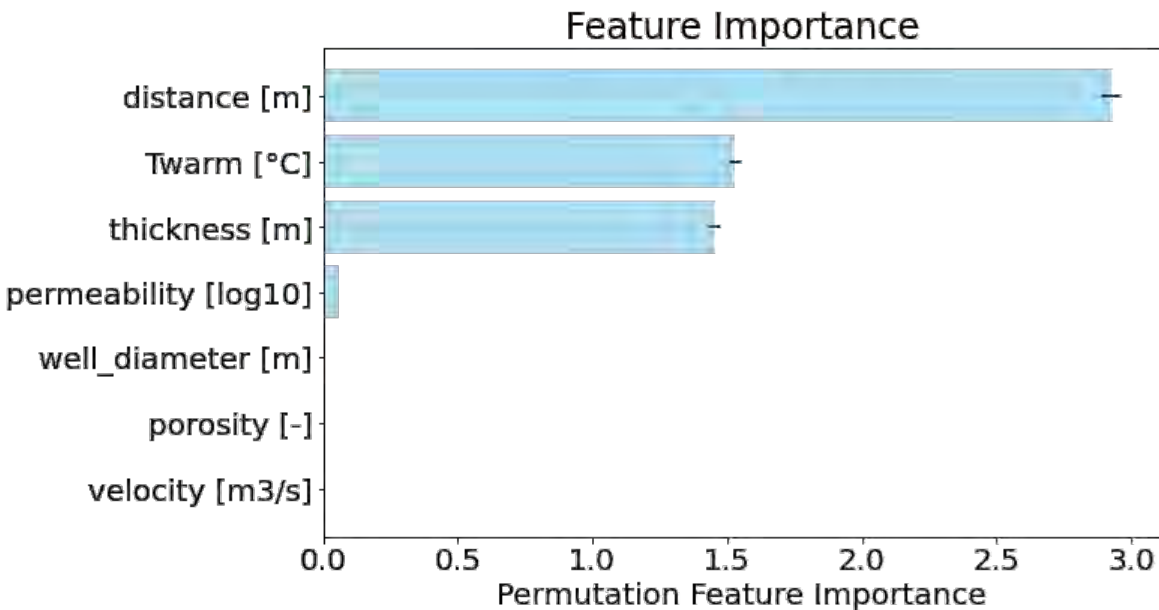


AP2 (GFZ): Standort- und Systemcharakterisierung

A metamodel was trained based on ensemble of spatially resolved physics-based models. The order reduction technique was developed to address the question of optimal well spacing under geological (permeability, porosity, aquifer thickness) and technical (well diameter, injection velocity, injection temperature) uncertainties.



Negative values of reduced model parameter d (y-axes) corresponds to thermal interference and reduction in energy recovery efficiency.



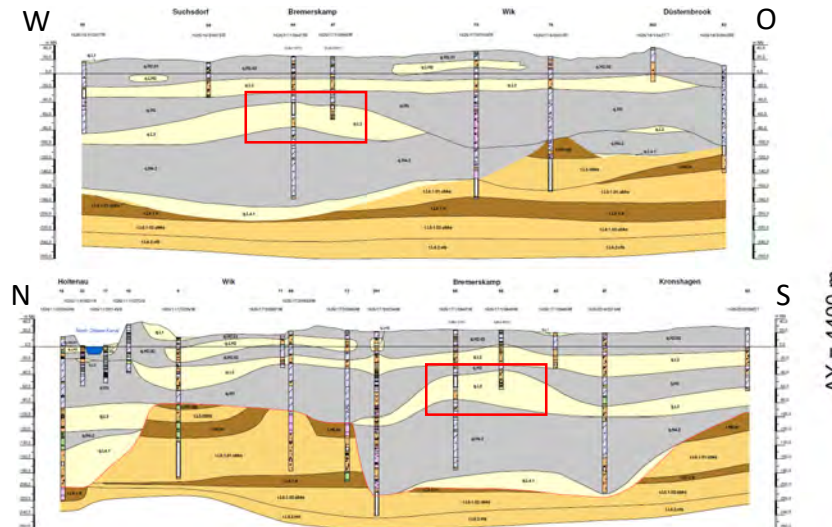
First results of parameter influence on the thermal interference in Adlershof. Higher values refer to higher impact.

AP3 (CAU): Wärmetransportmodellierung von ATES-Systemen

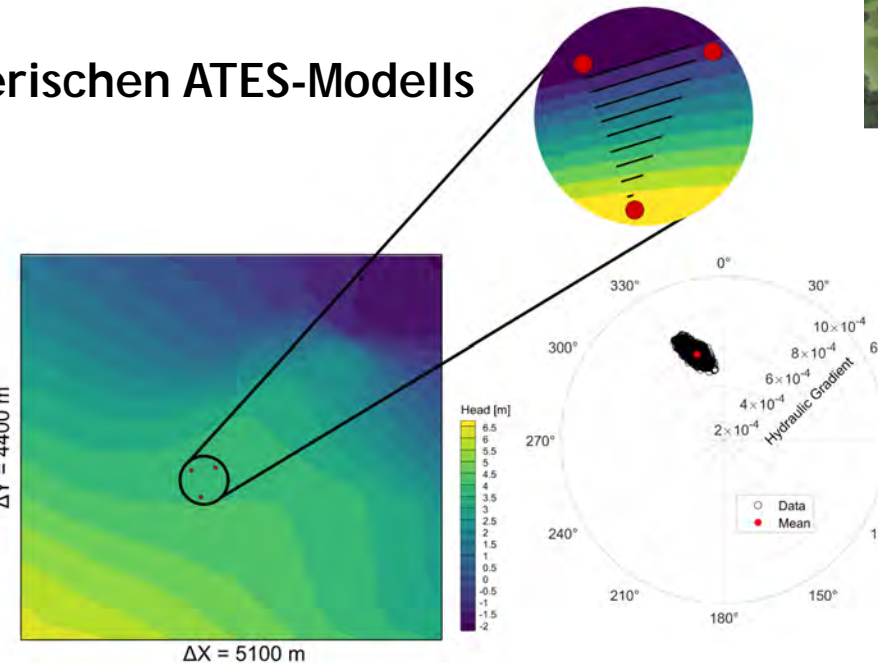
Zielsetzung: ATES-Dimensionierung für den CAU-Campus bei Variabilität

- der hydrogeologischen Ausprägung der Speicherschicht
- des zeitlichen Gebäudestruktur- und Energie-Entwicklungspfads

1) Aufbau und Kalibrierung des numerischen ATES-Modells



Geologisches Modell des LfU SH als Grundlage für den numerischen ATES-Modell im Campusbereich.



2D-Schnitt durch die simulierte Potentialverteilung im Vergleich mit dem gemessenen hydraulischen Gradienten.

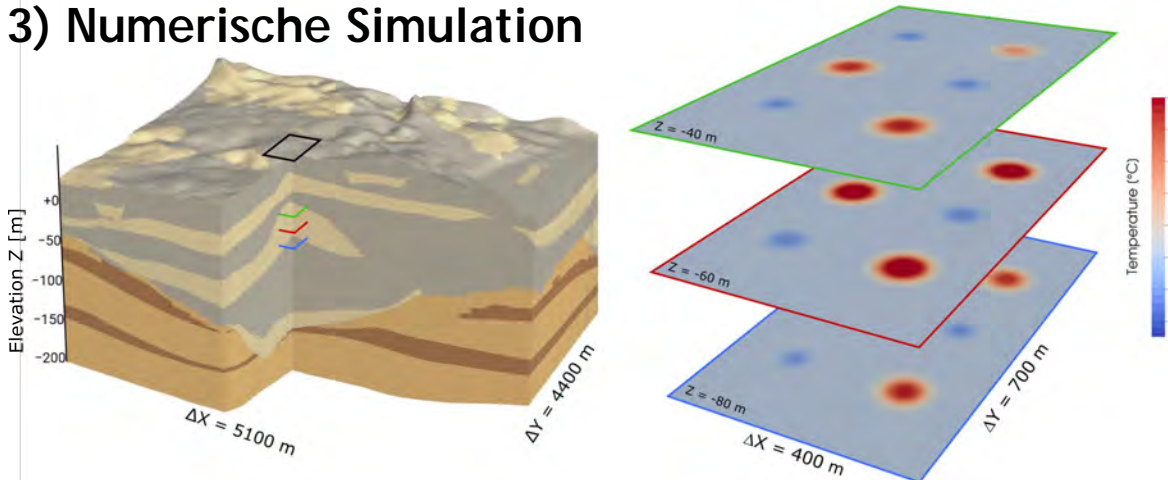


- Hydraulischer Gradient ist nahezu konstant in Richtung und Betrag.
- Stationäre Kalibrierung des hydraulischen Modells erfolgte anhand von Stichtagsmessungen der Grundwasserstände (MS1). ✓
- In Arbeit: Systematik zur Kalibrierung von ATES-Modellen auf Basis der Projektstandortmodelle und Literaturauswertung

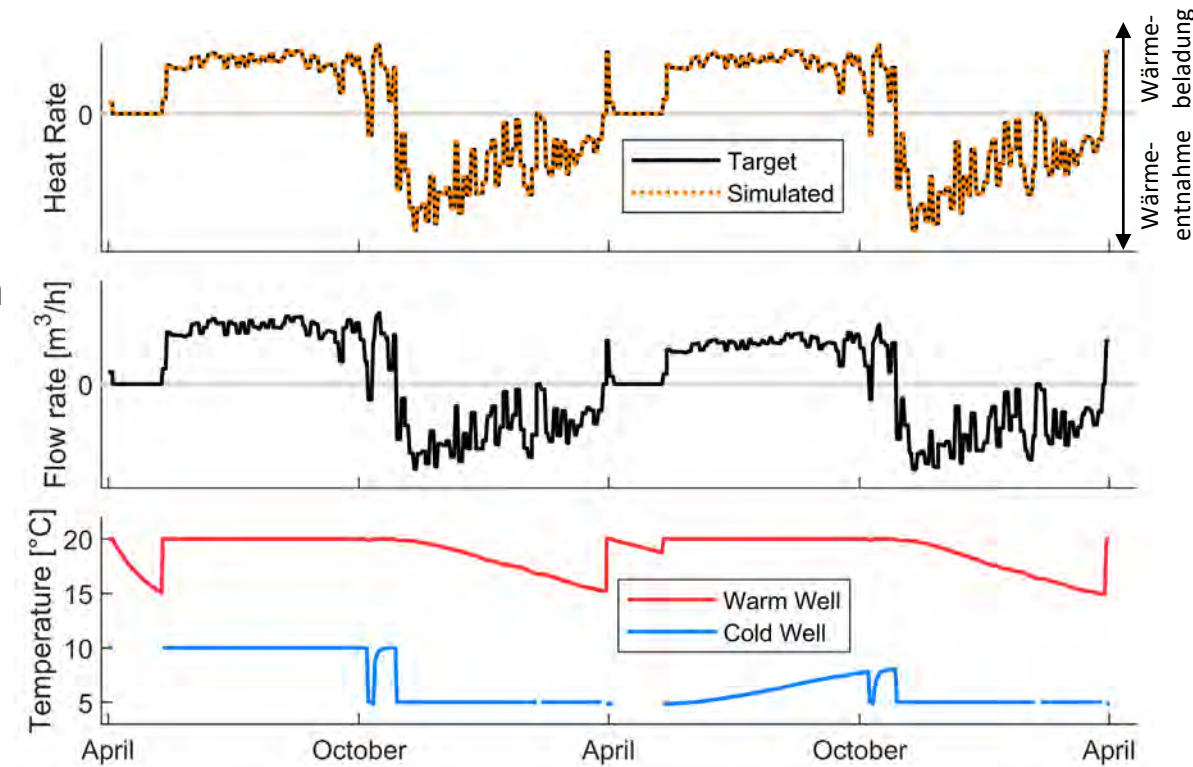
2) Ermittlung räumlich-zeitlicher Energiebedarfe

- Zeitlich aufgelöste gebäudespezifische Heiz-/Kühllasten und resultierende ATES-Lastzeitreihen ✓
 - räumlich-zeitlicher Gebäude-Entwicklungsplan ✓
 - in Arbeit: Ableitung Langzeitszenarien der ATES-Lastzeitreihen

3) Numerische Simulation



Numerische Simulation der durch ATES-Betrieb induzierten Temperaturfelder in der Speicherschicht bei Darstellung der Lastanforderung durch drei Brunnendubletten.



Lastzeitreihe des ATES (Vorgabe gegen Simulation), Pumprate und Temperaturen am warmen und kalten Brunnen.

		2022						2023						2024						2025																		
Inhalte		7	8	9	10	11	12	1	2	3	4	5	6	7	8	9	10	11	12	1	2	3	4	5	6	7	8	9	10	11	12	1	2	3	4	5	6	
1	Aufbau & Kalibrierung ATES-Modell Campus Kiel																		MS																			
2	Ermittlung räumliche & zeitliche Energiebedarfe																			●																		
3	Numerische Simulation ATES-Systeme																			●											MS							
4	Ableitung übergeordnete Erkenntnisse für ATES-Simulation																																MS					

3D hydrogeologisches Modell der Freiburger Bucht



OGWL
 $k_f = 0,1 \text{ bis } 4,4 \cdot 10^{-3} [\text{m/s}]^a$
 $n_e = 15 \%^a$

HGE6
 $k_f = 2 \cdot 10^{-4} - 1 \cdot 10^{-6} [\text{m/s}]^b$
 $n_e = 10 \%^b$

HGE7
 $k_f = 3 \cdot 10^{-3} - 5 \cdot 10^{-4} [\text{m/s}]^b$
 $n_e = 15 \%^b$

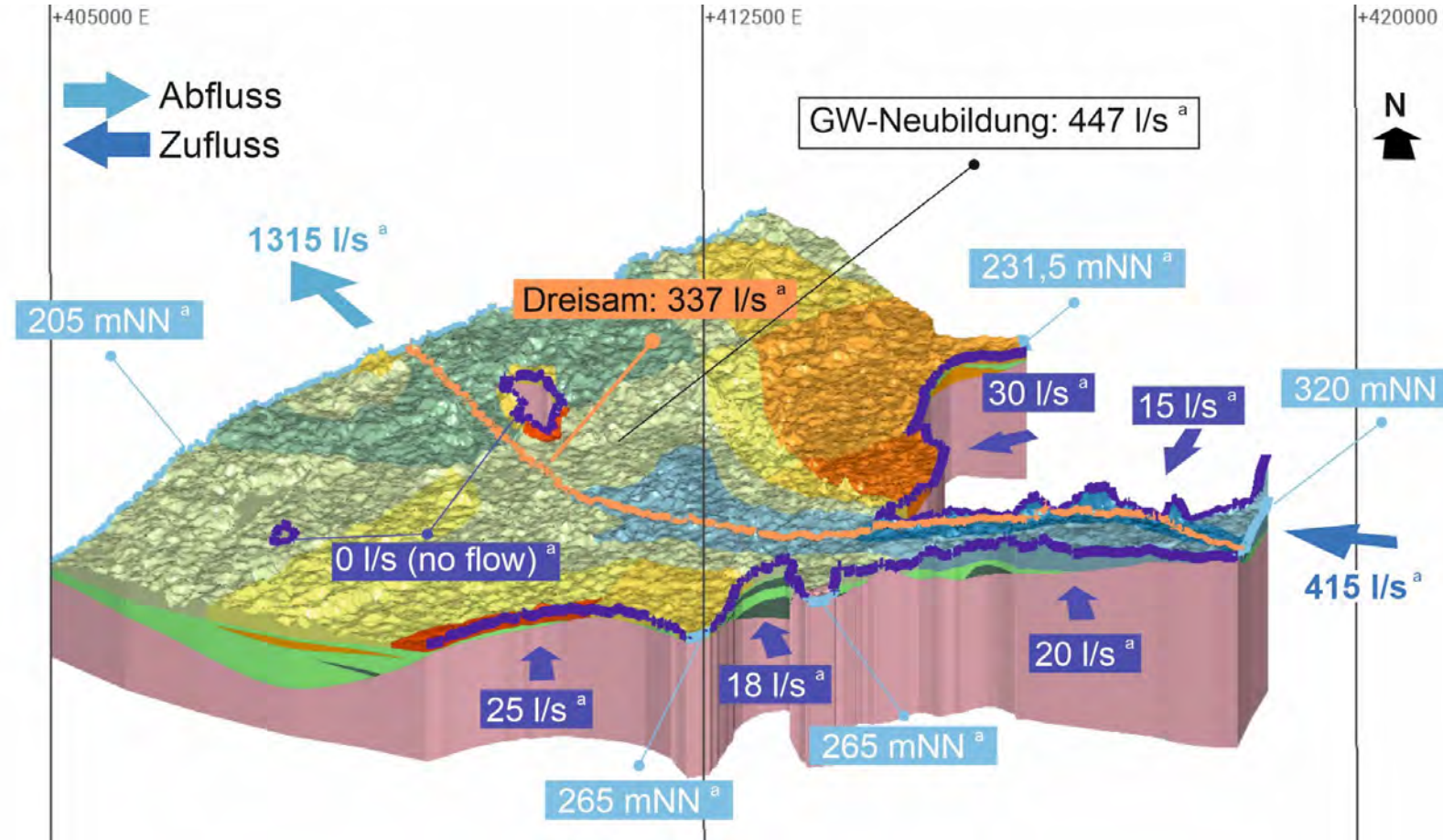
HGE8
 $k_f = 5 \cdot 10^{-5} - 1 \cdot 10^{-6} [\text{m/s}]^b$
 $n_e = 7 \%^b$

HGE9
 $k_f = 10^{-9} [\text{m/s}]^b$
 $n_e = 5 \%^b$

HGE10
 $k_f = 1,0 \cdot 10^{-7} [\text{m/s}]^c$
 $n_e = 6 \%^b$

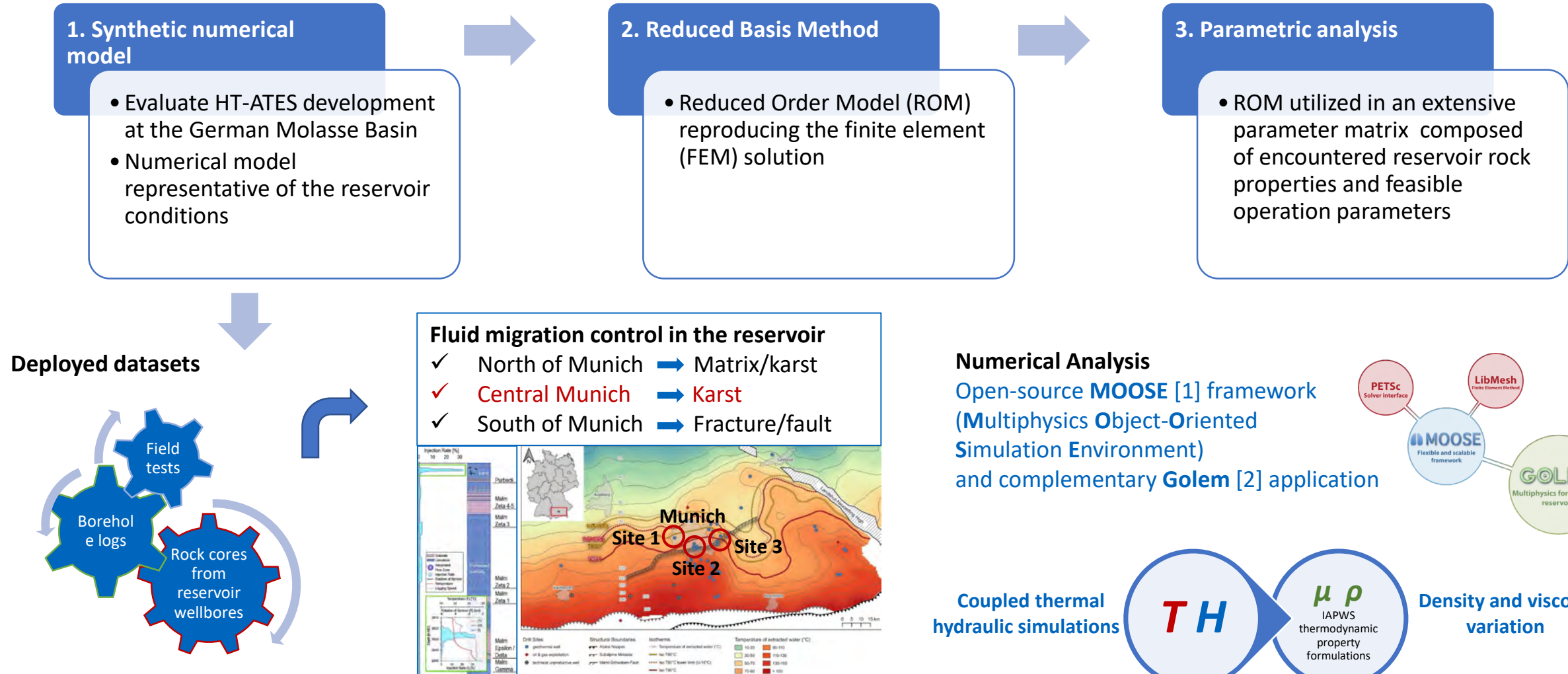
Aquitard

3D hydrogeologisches Konzeptmodell der Freiburger Bucht



OGWL	$k_f = 0,1 \text{ bis } 4,4 \cdot 10^{-3} [\text{m/s}]^a$
	$n_e = 15 \%^a$
HGE6	$k_f = 2 \cdot 10^{-4} - 1 \cdot 10^{-6} [\text{m/s}]^b$
	$n_e = 10 \%^b$
HGE7	$k_f = 3 \cdot 10^{-3} - 5 \cdot 10^{-4} [\text{m/s}]^b$
	$n_e = 15 \%^b$
HGE8	$k_f = 5 \cdot 10^{-5} - 1 \cdot 10^{-6} [\text{m/s}]^b$
	$n_e = 7 \%^b$
HGE9	$k_f = 10^{-9} [\text{m/s}]^b$
	$n_e = 5 \%^b$
HGE10	$k_f = 1,0 \cdot 10^{-7} [\text{m/s}]^c$
	$n_e = 6 \%^b$
Aquitard	

AP4 (TUM): Synthetische Modelle zur Kopplung von Speicher- und Netzmodellen Workflow

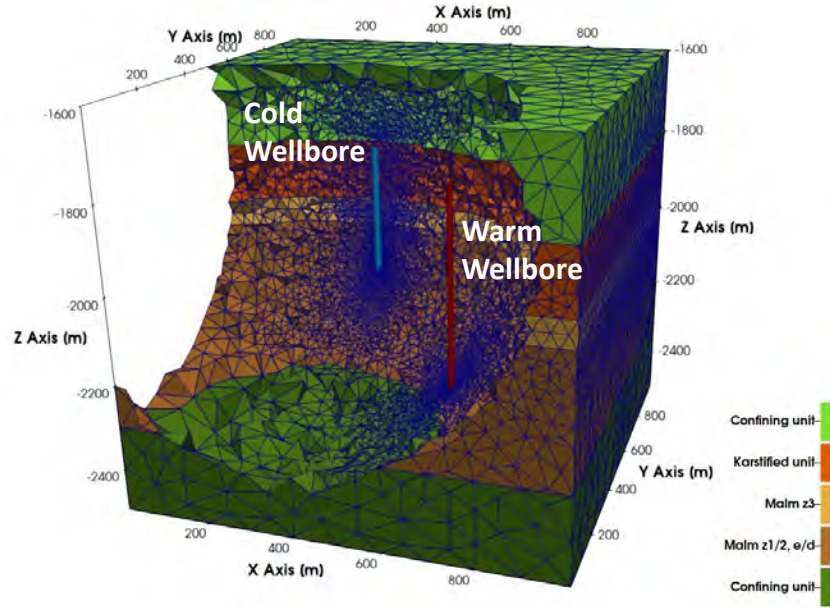


¹Permann, C.J., Gaston, D.R., Andrš, D., Carlsen, R.W., Kong, F., Lindsay, A.D., Miller, J.M., Peterson, J.W., Slaughter, A.E., Stogner, R.H. and Martineau, R.C., 2020. MOOSE: Enabling massively parallel multiphysics simulation. *SoftwareX*, 11, p.100430.

²Cacace, M. and Jacquey, A.B., 2017. Flexible parallel implicit modelling of coupled thermal–hydraulic–mechanical processes in fractured rocks. *Solid Earth*, 8(5), pp.921–941.

AP4 (TUM): Synthetische Modelle zur Kopplung von Speicher- und Netzmodellen Numerical approach and results

Numerical model

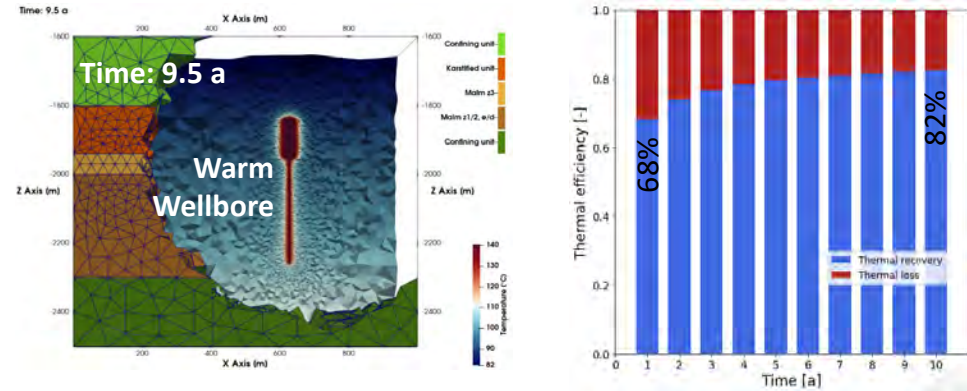


- Numerical models constrained by known Upper Jurassic reservoir properties and locally feasible operation parameters
- Heat storage performed through two vertical wells
- Seasonal operation with semi-annual load cycles over 10 a

Numerical results

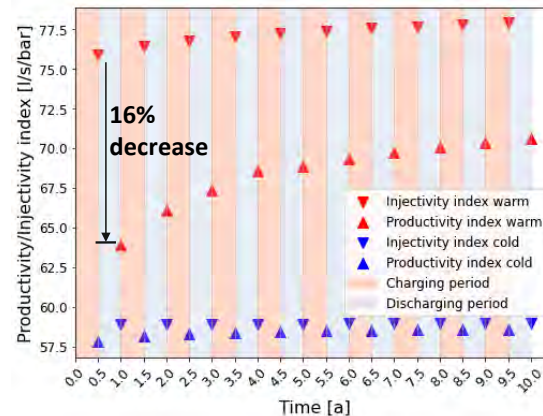
Temperature and thermal efficiency

- ✓ Thermal perturbation in the reservoir rock matrix
- ✓ Preferential thermal front propagation in high-permeability zone
- ✓ Increase of thermal efficiency per year of operation



Productivity/Injectivity indexes

- ✓ Variance in productivity and injectivity indexes
- ✓ The injectivity index is higher than the productivity index in both wells



Milestones

Milestone M4.1	Sensitivity- and efficiency analysis based on synthetic numerical models	Completed
Milestone M4.2	Development of Reduced Order Model (ROM)	Next phase
Milestone M4.3	Application of Reduced Order Model (ROM) to a site	In progress

- ✓ Next phase: Application of parameter ranges to derive the Reduced Order Model (ROM)

Aktueller Stand:

- Modellierung und Initialsimulation eines typischen, Fernwärmennetzes aus dem Großraum München
- Konzeptionierung verschiedener ATES Speicherszenarien und deren Anbindung an das Fernwärmennetz

Speicherszenarien:

- Überschusswärme aus stromgeführter Betriebsweise einer KWK
- Wärmeüberschuss aus Grundleistungen einer Geothermieanlage

Geplant:

- Weitere Validierung des Wärmennetzes
- Konkrete Kopplung eines ATES-Modells an das modellierte Wärmennetz

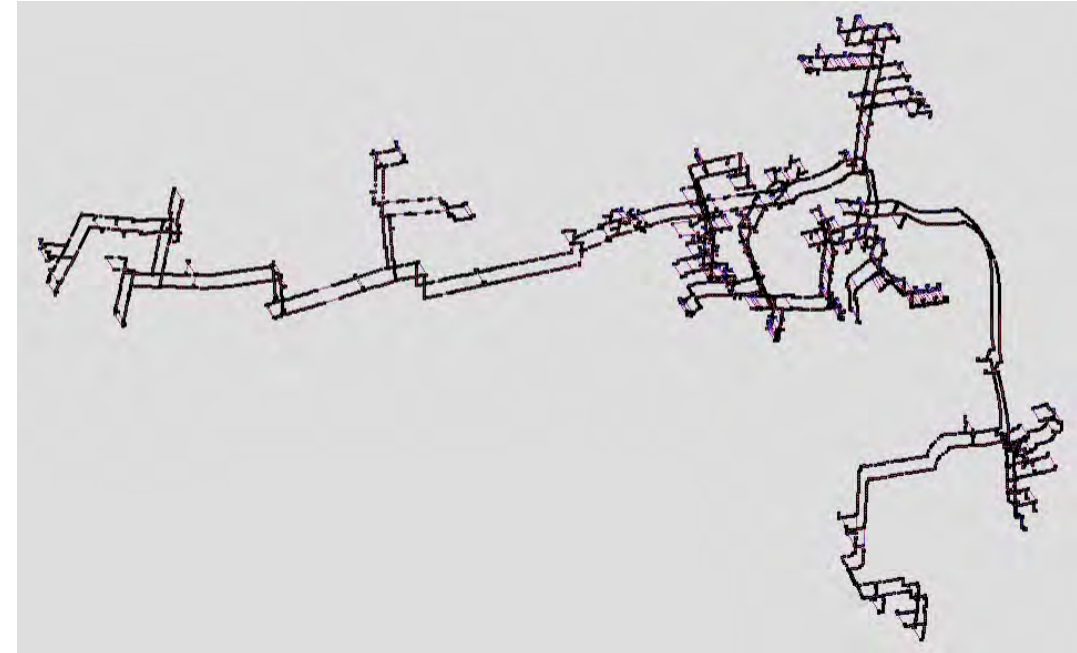


Abb. 1: Ausschnitt aus der Simulation des exemplarischen Fernwärmennetzes

Parameter	Wert
Trassenlänge in [km]	~ 26
Angeschlossene Gebäude	~ 180

Co-Simulation: Fernwärmennetz und ATES

- Wärmeübertrager als Schnittstelle zwischen den Simulationen
 - WÜ-Modell berechnet Austrittsparameter
- Datenaustausch in erster Iteration sequenziell geplant
 - Ergebnisse von obertägiger und untertägiger Simulation dienen als Input der jeweils anderen
 - Ergebnisaustausch bis Konvergenz in beiden Simulationen erkennbar ist
 - Webbasierte Auswertung der Ergebnisse

Geplant:

- Co-Simulationen in sequenzieller Form
- Identifizieren von Konvergenzkriterien und mögliche Optimierungen
- Sobald möglich auch simultane Co-Simulationen

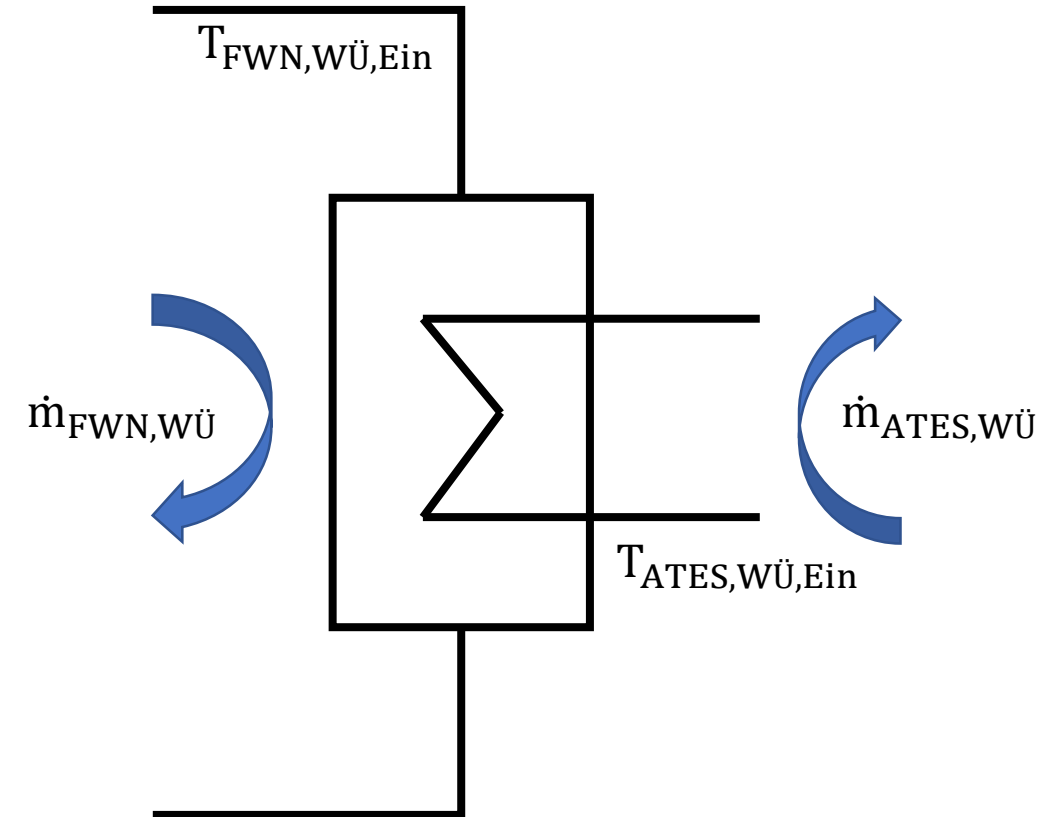


Abb.2: Schema Wärmeübertrager als Schnittstelle zwischen ober- und untertägiger Simulation

AP6 (UFZ): Umweltauswirkungen

KONATES

- Cyclic operation of an ATES pilot plant in a contaminated aquifer for combination of thermal management with possible groundwater remediation
- Temperature range from **10°C** up to **80°C**

Test site and monitoring

- Long history of contamination: chlorinated volatile organic compounds
- Main contaminants: Trichloroethylene (TCE) up to 6.0 mg/l and cis-Dichloroethylene (cis-DCE) up to 0.4 mg/l



Construction of monitoring and sample sites (MET department, UFZ)

AP6 (UFZ): Umweltauswirkungen

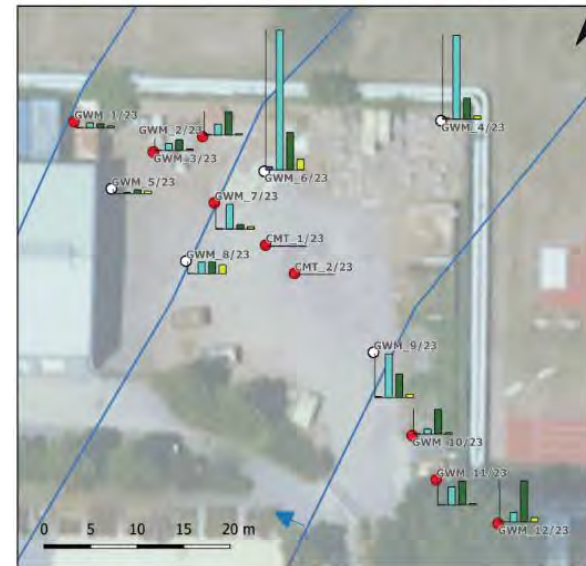
OGS model tailored for the KONATES site

- Cyclic operation of an ATES pilot plant in a contaminated aquifer for the combination of thermal management with possible groundwater remediation
- Temperature ranges from 10°C up to 80°C
- Main contaminants: Trichloroethylene and cis-dichloroethylene
- All permits were granted and the first run on the test site started on 24.05.24

Calibration of OGS model parameters

- Tracer test showed prior model assumptions were fitting for the test site
 - used to further calibrate the model especially for component transport
- Hydraulic head measurements showed a rise in groundwater level on the test site up to 0.5 m since December '23

Verteilung der CKW-Konzentrationen am UFZ-Standort in Leipzig



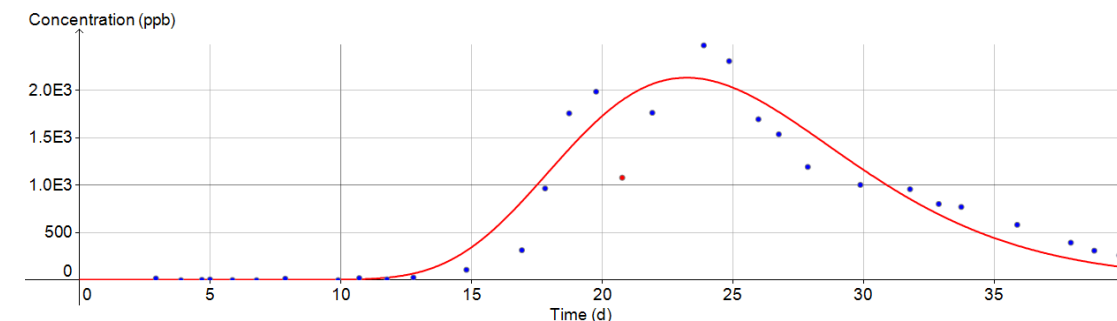
Messstelle	PCE	TCE	Cis 1,2 DCE	Trans DCE
GWM_1/23	2	20	16	7
GWM_2/23	3	44	93	6
GWM_3/23	2	28	43	5
GWM_4/23	5	335	84	13
GWM_5/23	1	4	15	10
GWM_6/23	13	559	149	42
GWM_7/23	3	99	18	10
GWM_8/23	1	46	46	35
GWM_9/23	4	175	95	14
GWM_10/23	0	20	98	5
GWM_11/23	1	73	96	6
GWM_12/23	1	38	165	18

Konates Messstellen

- Sediment vorhanden
- kein Sediment vorhanden
- PCE [$\mu\text{g/L}$]
- TCE [$\mu\text{g/L}$]
- Cis 1,2 DCE [$\mu\text{g/L}$]
- Trans DCE [$\mu\text{g/L}$]

Hydroloshypsen

Baseline monitoring of contaminants (analysis and figure by Enno Borgeest and Ralf Köber, CAU Kiel)

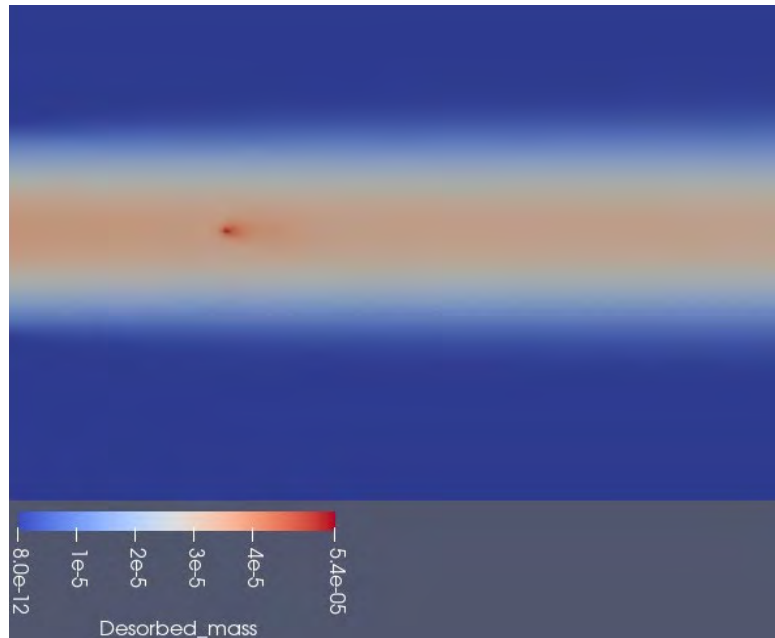


Breakthrough curve of tracer test (figure: Bruno Engelbrecht, UFZ)

AP6 (UFZ): Umweltauswirkungen

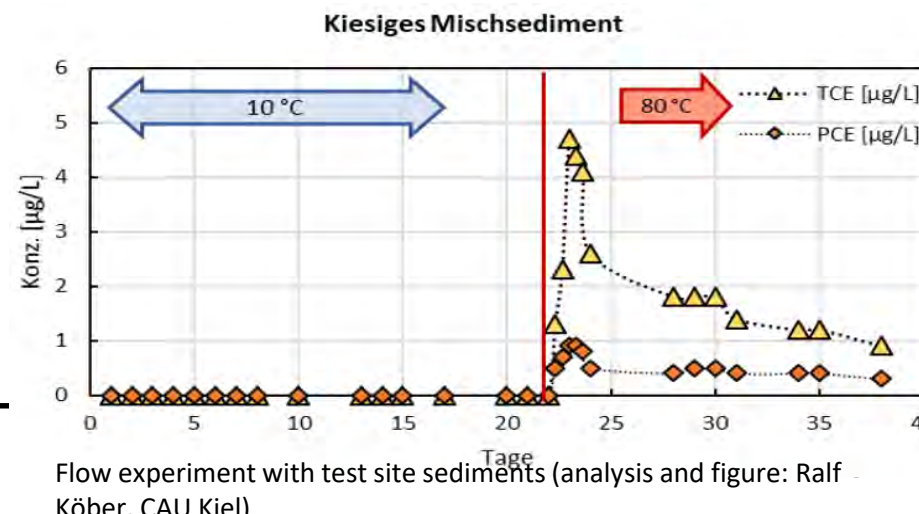
Work on the development of Component Transport Feature

- Tracer test did not show strong heterogeneous flow on the test site and no strong preferential flow paths of the tracer due to the geological situation
- Master student did literature review of thermal dependent sorption phenomena with focus on chlorinated VOCs
- Set up of simplified model to estimate desorbed contamination and amount of contamination as input for the on-surface remediation plant due to ATES operation



Achievable Milestones in 2024

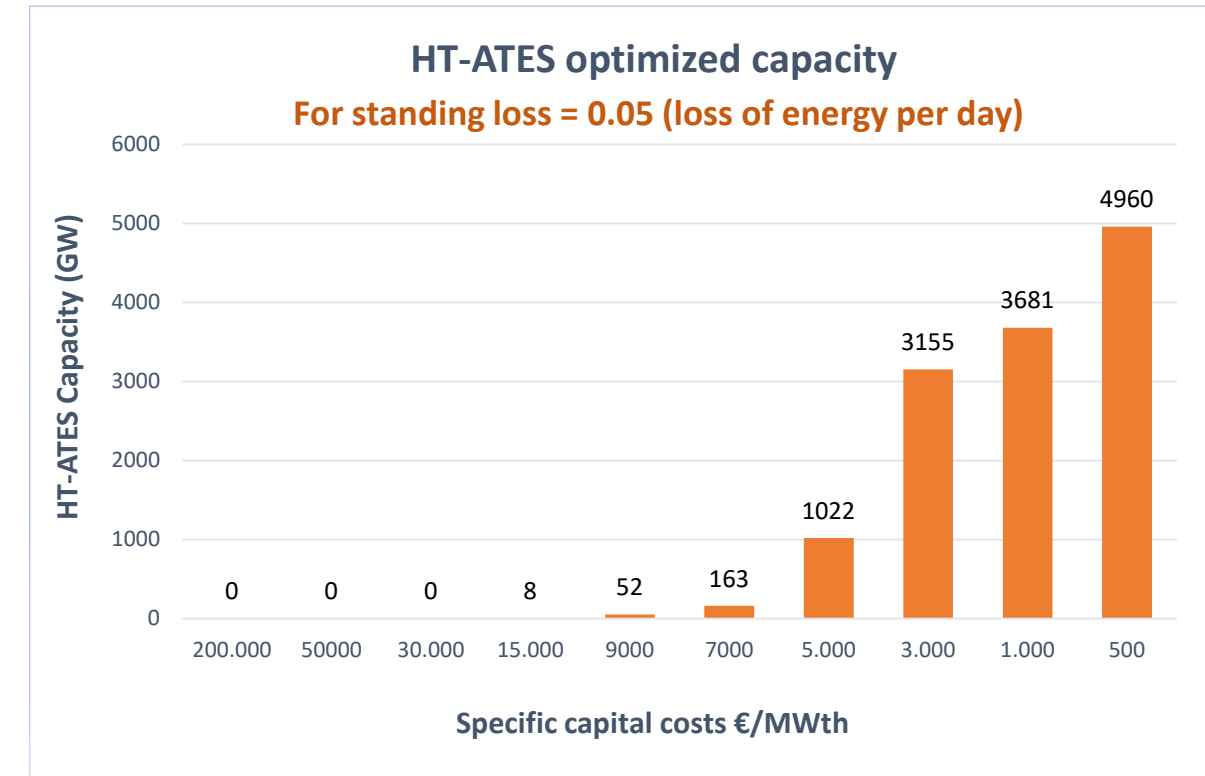
- Use of first laboratory data from the test site
 - recreating lab-scale flow experiment as a OGS simulation (heat facilitated contaminant desorption process)
 - Use data for test site scale model



AP7 (IEG): Energiesystemmodellierung

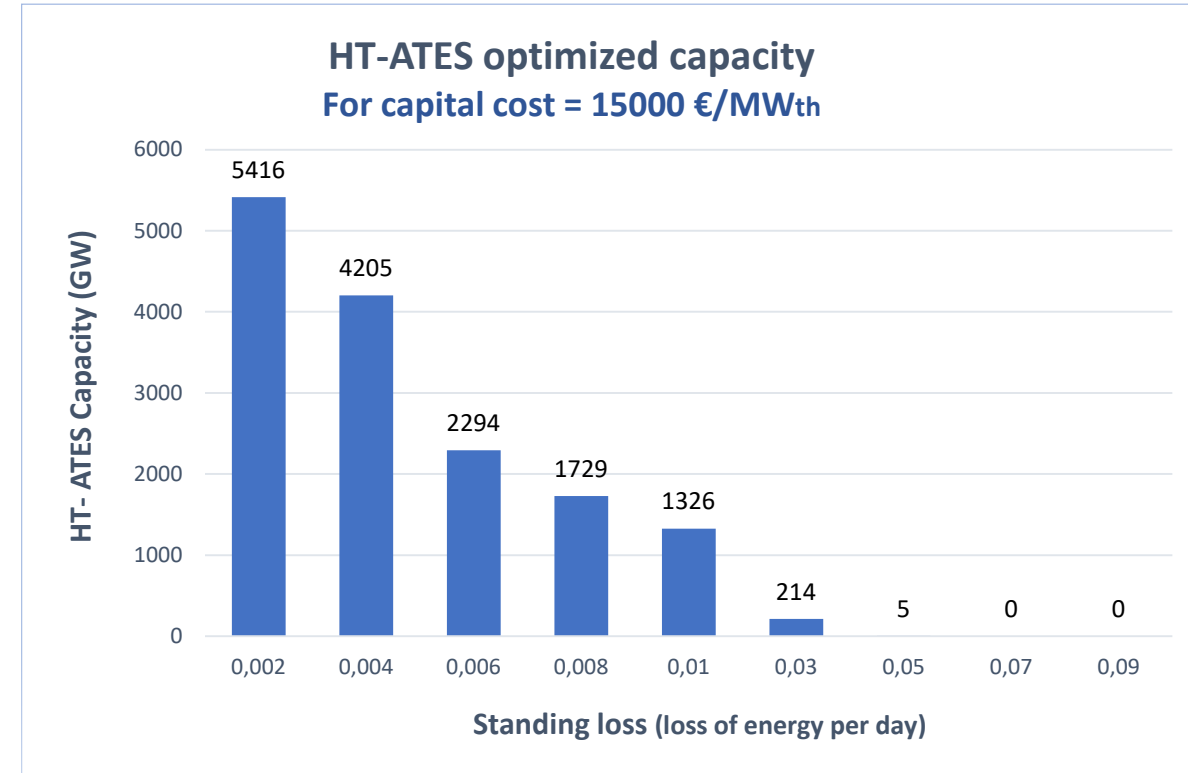
Economic viability of HT-ATES

- Modelling the technical behavior of the HT-ATES to integrate in PyPSA-EUR-SEC energy system model
- Main drivers affecting integration of HT-ATES: Capital cost and standing (storage) losses
- In a sector-coupled model of Germany, HT-ATES for heating is modelled for heat storage purposes especially to convert excess electricity from grid to store it as a heat (**Power-to-Heat**).
- Assuming unlimited potential of HT-ATES for heating in Germany, the specific capital costs (€/MW_{th}) at which ATES becomes economically viable is determined.
- The capital cost at which the HT-ATES shows a considerable share in the energy system is remarkably low.



<https://pypsa-eur.readthedocs.io/en/latest/>

- Another sensitive parameter which decides the viability of HT-ATES is standing loss (or storage loss)
- HT-ATES with higher storage losses than 0.05 are not economically viable in the energy system provided the investment cost is 15.000 €/MWth
- Future work:
 - 1) Potentials of HT-ATES at each spatial node can be estimated and the economic viability of HT-ATES can be determined accurately for Germany
 - 2) Potentials of HT-ATES at each spatial node can be estimated and the economic viability of HT-ATES can be determined accurately for Germany
 - 3) ATES for both heating and cooling could be more efficient than just for heating and can also be modelled for assessing it's economic viability
 - 4) ATES for individual building to provide both heating and cooling can also be modelled.



<https://pypsa-eur.readthedocs.io/en/latest/>



Home Standorte Partner News & Publikationen Kontakt Impressum Q

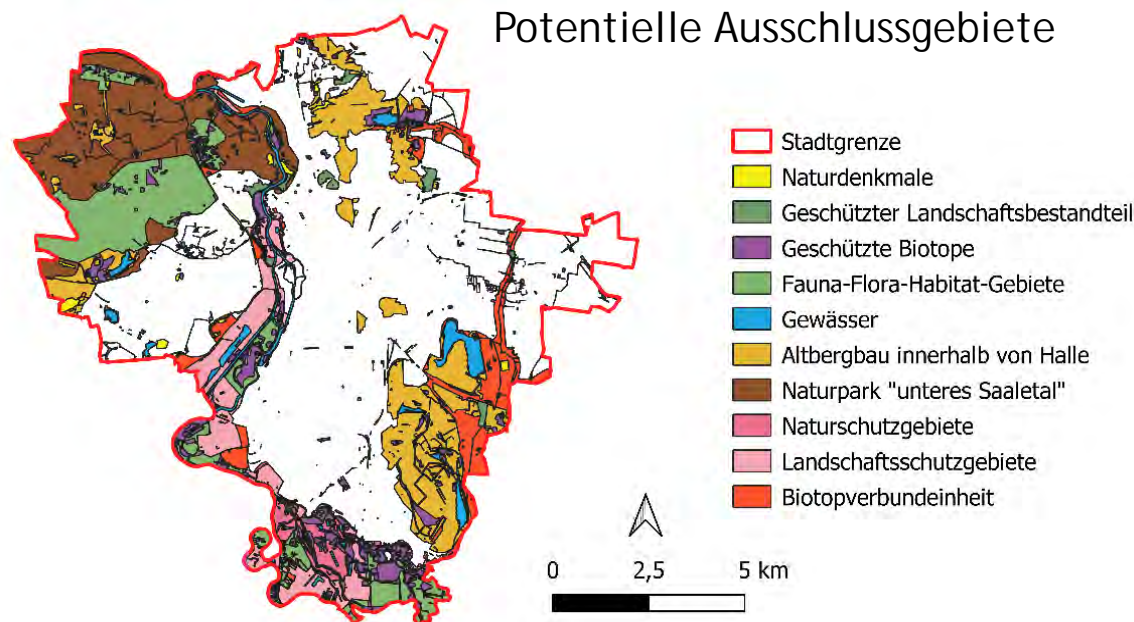
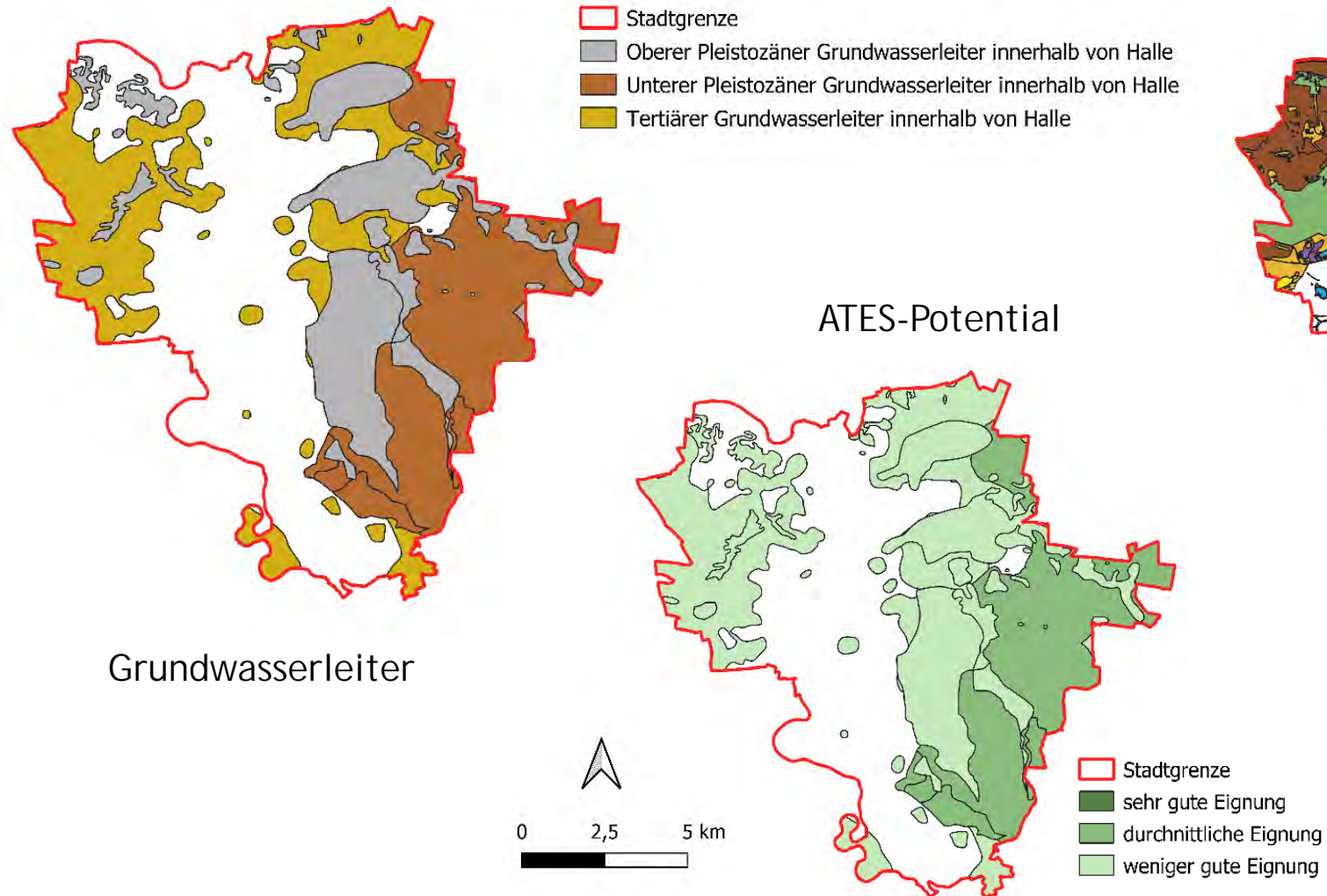


Speicher-
Lösungen
für die Zukunft

<https://speichercity.geo.uni-halle.de/>

- Aufbau der Projektwebsite
- Regelmäßige News
- Ergebnispräsentationen
- Koordination Workshop auf der GeoTHERM 2025

AP8 (MLU): Akzeptanz und Transfer

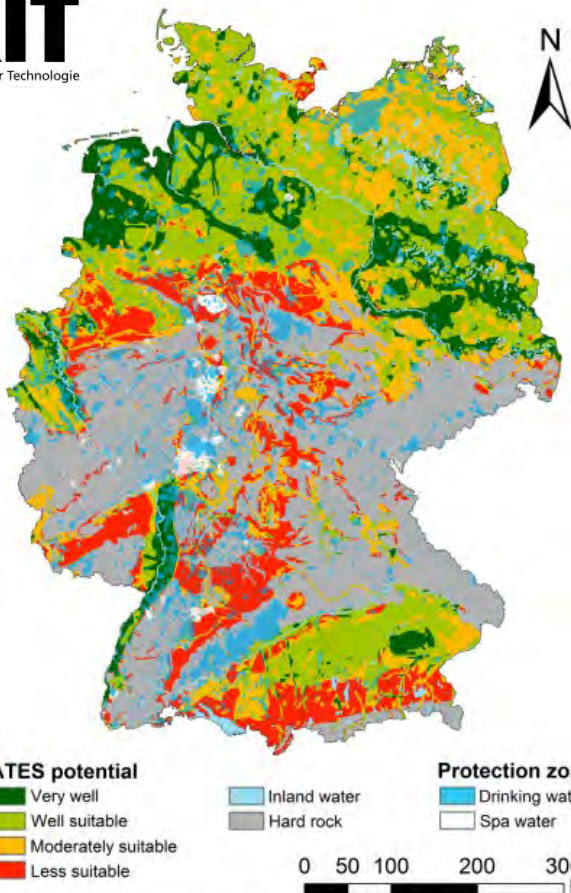


Nächste Schritte:

- (1) 3D geologisches Modell finalisieren
- (2) Hydraulische und thermische Parameter räumlich charakterisieren
- (3) Potentialstudie: 3D, Hydraulik, Landnutzung

Winkler (2021)

AP8 (MLU): Akzeptanz und Transfer



Identifizierung von ATES-Schlüsselstandorten in Niedersachsen

Verknüpfung von ATES-Potenzial und Kühlkapazitäten von Krankenhäusern

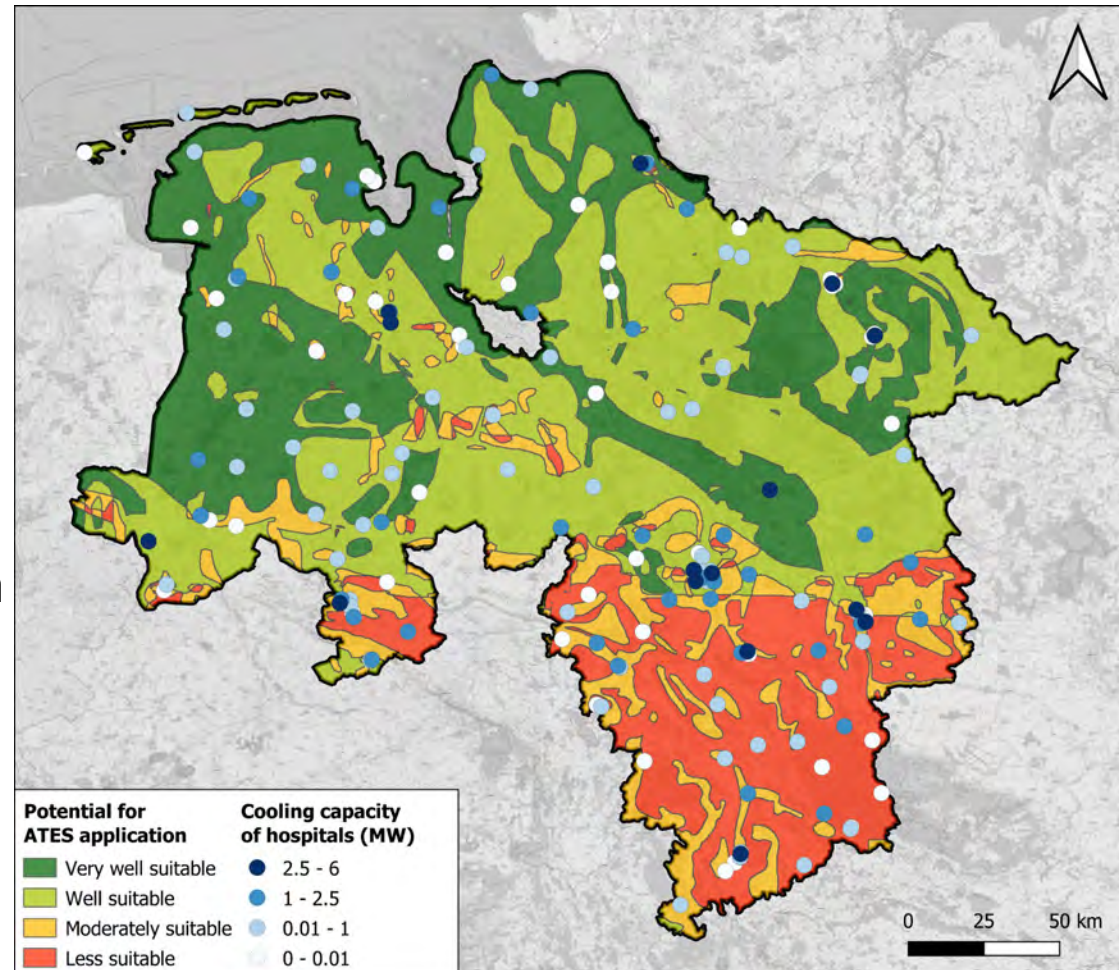


Fig. 8 ATES suitability potential in Germany for the period *near future* (2021–2050) based on the reference criteria weighting scheme. Drinking and spa water protection zones are included. Protection zone data from BfG (2021), LfU (2021), LUBW (2022a; b), HLNUG (2022), MULNV NRW (2022), NLWKN (2021)

Stemmle et al. (2022) *Geothermal Energy*

NT-ATES-Potential in Niedersachsen

Fazit und Ausblick

- ▶ Unterschiedliche ATES-Typen im Locker- und Festgestein werden untersucht (2 × NT-ATES, 4 × HT-ATES) und simuliert. Die Temperaturen liegen hier zwischen 5°C bis 80°C.
- ▶ Ergänzende standort-spezifische NMR-Messungen wurden auf dem Campus in Kiel durchgeführt.
- ▶ Im Rahmen des Projektes wurden 3D hydrogeologische Modelle und standort-spezifische Wärmetransportmodelle aufgebaut und unterschiedliche Simulationen durchgeführt (Leapfrog, OGS, MOOSE-GOLEM, FEFLOW).
- ▶ Die Kopplung der Reduced Order Models (ROM) mit dem Netzwerkmodell (TRYNSYS-TUD) soll beispielhaft mit dem Fernwärmennetz in München und ggf. auch in Berlin durchgeführt werden.
- ▶ Auf der **GeoTHERM 2025** soll ein Workshop zum Thema „Aquiferspeicher“ stattfinden (voraussichtlich am **19.02.2025**). Hierzu laden wir Sie alle herzlich ein. Weitere Informationen folgen!

Meilensteine bis 2024

	Jahr		2022						2023						2024																
Partner	Meilensteine		7	8	9	10	11	12	1	2	3	4	5	6	7	8	9	10	11	12	1	2	3	4	5	6	7	8	9	10	11
AP1 - KIT	M1.1	Workshops (W) und Projekttreffen (P)							W					P					W					P							
	M1.2	Zwischenberichte																													
	M1.3	Abschlussbericht (AB) / Publikationen (P)						P					P			P		P				P			P			P			
AP2 - GFZ	M2.1	Matrix der Systemparameter																													
	M2.2	Konzeptmodelle Systemparameter																													
	M2.3	Handlungsempfehlung Monitoring																													
AP3 - CAU	M3.1	Kalibrierte Grundwassermodelle																													
	M3.2	Gekoppelte ATES-Simulationen																													
	M3.3	Publikation																													
AP4 - TUM	M4.1	Sensitivitätsstudie / Effizienzanalysen																													
	M4.2	Integration Wärmenetzmodellierung																													
	M4.3	Anwendung auf Standort(e)																													
AP5 - TUD	M5.1	Integration ATES in Energienetze																													
	M5.2	Wärmeverlust/Speichertemperaturprofile																													
	M5.3	Handlungsempfehlung ATES Steuerung																													
AP6 - UFZ	M6.1	Ökologische Aspekte und Synergieeffekte																													
	M6.2	Weiterentwicklung THC-Modell																													
	M6.3	Umweltauswirkungen für Genehmigung																													
AP7 - IEG	M7.1	Clusterbildung Deutschland																													
	M7.2	Modelle Sektorkopplungsoptionen																													
	M7.3	Handlungsempfehlung Ausbau																													
AP8 - MLU	M8.1	Medienanalyse																													
	M8.2	Wissenschaftsvideos SpeicherCity																													
	M8.3	Planung nationale ATES Konferenz																													

Vielen Dank für Ihre Aufmerksamkeit!